

العنوان:	دراسة تحليله لدرجات الحرارة الفصوى والصغرى لمطار طرابلس العالمي خلال الفترة " 1995 - 2009 م،": باستخدام النموذج المثلثى البسيط
المصدر:	مجلة الجامعي
الناشر:	النقابة العامة لأعضاء هيئة التدريس الجامعي
المؤلف الرئيسي:	عمر، مصطفى عبدالمجيد احمد
المجلد/العدد:	24
محكمة:	نعم
التاريخ الميلادي:	2016
الشهر:	خريف
الصفحات:	242 - 251
رقم MD:	770902
نوع المحتوى:	بحوث ومقالات
اللغة:	Arabic
قواعد المعلومات:	EduSearch
مواضيع:	التغيرات المناخية، المناخ والطقس، درجات الحرارة، مطار طرابلس، ليبيا
رابط:	http://search.mandumah.com/Record/770902

دراسة تحليله لدرجات الحرارة القصوى والصغرى

مطار طرابلس العالمي خلال الفترة (1995 - 2009 م) باستخدام النموذج المثلثي البسيط

■ د. مصطفى عبد المجيد محمد عمر*

ملخص البحث:

تعتبر درجات الحرارة مهمة للفرد وللعديد من القطاعات الحكومية والأهلية وهدف هذه الدراسة هو تحديد نماذج احتمالية لتقدير درجات الحرارة القصوى ومن خلال بيانات درجات الحرارة القصوى والعائدة لمصلحة الأرصاد الجوية المركز الوطنى الليبى للأرصاد إدارة المناخ والتغيرات المناخية لمحطة مطار طرابلس العالمي للفترة (1995 - 2009 م) حيث تم عرض وتحليل البيانات المشار إليها لغرض الاستفادة منها في المجالات المختلفة.

إن نتائج تحليل البيانات خلال استخدام النماذج الخطية والتي من أكثر الطرائق الإحصائية استعمالاً في مختلف العلوم، لأنها يصف العلاقة بين المتغيرات على هيئة معادلة خطية ويستعمل تحليل النماذج الخطية لعدة أغراض أهمها التنبؤ، حيث يمكن تقدير الاستجابة والتنبؤ بما يفيد كثيراً في عملية التخطيط الحضري للمستوطنات والمدن الساحلية خصوصاً إن ليبيا تمتاز بمناخ صحراوي قاس أحياناً.

يعتبر هذا البحث بداية لبحوث مستقبلية تشمل دراسة عوامل مناخية أخرى من أجل اكتشاف البيئة التي نعيش فيها واتخاذ القرارات الصائبة والسليمة وان من متطلبات تحليل الظواهر تحديد النموذج الملائم للظاهرة، لأن اختيار النموذج المناسب يؤدي إلى اتخاذ القرار الصحيح بشأن المشكلة المراد دراستهما.

لقد أظهرت النتائج ومن خلال النموذج المثلثي البسيط والذي يعتبر أيضاً من النماذج التي تطبق على الظواهر الطبيعية إن هناك نمطاً دورياً لسلوك درجات الحرارة خلال فترة الدراسة ففسرت النتائج المتحصل عليها هي النموذج المثلثي البسيط لدرجات

* عضو هيئة التدريس بقسم الإحصاء، كلية العلوم بجامعة طرابلس

الحرارة الفصوى وأخر للصغرى وبعد إجراء الاختبارات الالازمة باكتشاف مشاكل الانحدار المتعدد للنموذجين المتحصل عليهما تبين خلو كل منهما من هذه المشاكل.

1- مقدمة :

يعد استخدام النماذج الخطية من أكثر الطرائق الإحصائية استعمالاً في مختلف العلوم، حيث يعتمد البحث العلمي للظواهر على تكرار محاولات دراستها بهدف التوصل إلى تفسير منطقي للظواهر الاجتماعية والطبيعية واختبار محاولات تفسيرها بجمع بيانات عنها لدراستها وتحليلها، وعادة ما يؤدي تحليل البيانات إلى تعديل تفسيرنا لهذه الظواهر كما ان الدراسة المترددة لها غالباً ما تؤدي إلى إضافة بعض المتغيرات للدراسة أو حذف بعضها الآخر.

ومن متطلبات تحليل الظواهر تحديد النموذج الملائم للظاهرة لأنه يصف العلاقة بين المتغيرات على هيئة معادلة خطية، ويستعمل تحليل النماذج الخطية لعدة أغراض أهمها التنبؤ، حيث يمكن تقدير الاستجابة والتنبؤ بما يفيد كثيراً في التخطيط واتخاذ القرارات، و اختيار النموذج المناسب يؤدي إلى اتخاذ القرار الصحيح بشأن المشكلة المراد دراستها.

2- النموذج المثلثي البسيط:

هناك صور متعددة للنماذج الخطية وتعتبر النماذج المثلثية أحد الأمثلة للنموذج الخطى العام، فمثلاً النموذج المثلثي البسيط الذي يكون على الصيغة التالية:

$$Y = \beta + \alpha \cos\left(\frac{2\pi}{p}\right)x + \gamma \sin\left(\frac{2\pi}{p}\right)x + \varepsilon \quad \dots\dots\dots (2.1)$$

حيث إن β ، α ، γ معلمات مجهولة، p عدد معلوم وهو يمثل طول الدورة لذا يعتبر النموذج المثلثي البسيط حالة خاصة من النموذج الخطى العام (GLM) فإنه بالإمكان تطبيق جميع النظريات والنتائج المتعلقة بالنموذج الخطى العام على النموذج المثلثي البسيط، وفقاً لشروط معينة حيث نجد أن العمليات الحسابية لهذا النموذج تكون سهلة جداً وبسيطة والشروط كالتالي:

1. المتغير x_i يمثل عدد المشاهدات وتكون أعداداً صحيحة $2, 1, \dots, n$ وبذلك $x_t = t$ حيث إن $t = 1, \dots, n$.
2. تكون طول الفترة الأساسية p عدداً صحيحاً موجباً ومعلوماً بحيث إن $p \geq 3$ ؛

3. تكون $n = Cp$ ، عندما C عدداً صحيحاً موجباً ومعلوماً.

إن هذا النوع من النماذج له تطبيقات عديدة ومتعددة لمختلف الظواهر الطبيعية والتي لها سلوك بصفة دورية أحوال الطقس عموماً فمثلاً كمية الإمطار سرعة الرياح، الرطوبة ودرجات الحرارة،...الخ وكذلك بعض السلع حيث قد تكون الدورة سنة كاملة...الخ. $n = Cp$ $p+1$. p 2.1 وبذلك C فترات أساسية مختبرة، والمشاهدات X تكون متباينة على السواء ضمن كل فترة.

والشرط $p \geq 3$ يتحقق في النموذج إذا كانت $1 = p$ أو $2 = p$ فان

$$\alpha \sin\left(\frac{2\pi}{p}x\right) = 0 \quad \text{لكل } x = 1, 2, \dots, n \quad \text{لكل قيم } \alpha \text{ وعلى}$$

اعتبار ان النموذج المثلثي البسيط أعلاه حالة خاصة من النموذج الخطى العام فإنه

يمكن كتابته بطريقة المصفوفات كالتالي:

$$Y = X\beta + \epsilon \quad \text{حيث إن}$$

$$Y = \begin{bmatrix} y_1 \\ y_2 \\ \vdots \\ y_n \end{bmatrix} \quad X = \begin{bmatrix} 1 & \cos\left(\frac{2\pi}{p}\right) & \sin\left(\frac{2\pi}{p}\right) \\ 1 & \cos\left(\frac{2\pi}{p}\right)2 & \sin\left(\frac{2\pi}{p}\right)2 \\ \vdots & \vdots & \vdots \\ 1 & \cos\left(\frac{2\pi}{p}\right)n & \sin\left(\frac{2\pi}{p}\right)n \end{bmatrix}$$

$$\beta = \begin{bmatrix} \beta \\ \alpha \\ \gamma \end{bmatrix} \quad \epsilon = \begin{bmatrix} \epsilon_1 \\ \epsilon_2 \\ \vdots \\ \epsilon_n \end{bmatrix}$$

وباستخدام طريقة المربعات الأصغرى يتم الحصول على المعادلات الطبيعية التالية:

$$X'X\hat{\beta} = X'Y$$

$$X'Y = \begin{bmatrix} \sum y_i \\ \sum y_i \cos\left(\frac{2\pi}{p}\right)t \\ \sum y_i \sin\left(\frac{2\pi}{p}\right)t \end{bmatrix} \quad \text{حيث إن}$$

$$\mathbf{X}'\mathbf{X} = \begin{bmatrix} n & \sum \cos\left(\frac{2\pi}{p}\right)t & \sum \sin\left(\frac{2\pi}{p}\right)t \\ \sum \cos\left(\frac{2\pi}{p}\right)t & \sum \cos^2\left(\frac{2\pi}{p}\right)t & \sum \cos\left(\frac{2\pi}{p}\right)t \sin\left(\frac{2\pi}{p}\right)t \\ \sum \sin\left(\frac{2\pi}{p}\right)t & \sum \cos\left(\frac{2\pi}{p}\right)t \sin\left(\frac{2\pi}{p}\right)t & \sum \sin^2\left(\frac{2\pi}{p}\right)t \end{bmatrix}$$

نلاحظ انه عندما $n = p$ حيث إن p عدد صحيح موجب ($p \geq 3$) نجد ان :

$$\begin{bmatrix} \sum_{i=1}^n \sin\left(\frac{2\pi}{p}\right)t = 0 \\ 1 \quad \sum_{i=1}^n \cos\left(\frac{2\pi}{p}\right)t = 0 \\ 2 \quad \sum_{i=1}^n \cos^2\left(\frac{2\pi}{p}\right)t = \left(\frac{n}{2}\right) \quad \sum_{i=1}^n \sin^2\left(\frac{2\pi}{p}\right)t = \left(\frac{n}{2}\right) \end{bmatrix}$$

$$\mathbf{X}'\mathbf{X} = \begin{bmatrix} n & 0 & 0 \\ 0 & n/2 & 0 \\ 0 & 0 & n/2 \end{bmatrix} \quad \text{بذلك تصبح :}$$

و بالتالي تكون $\mathbf{X}'\mathbf{X}$ مصفوفة قطرية، مما يجعل حل المعادلات الطبيعية سهلا.
كما نلاحظ ان الشرطين الأول والثاني قد لا يكونا متamasكين إذا لم تكن n مضاعفة للعدد p .

و حل المعادلات الطبيعية يكون كالتالي :

$$\hat{\boldsymbol{\beta}} = \begin{bmatrix} \hat{\beta} \\ \hat{\alpha} \\ \hat{\gamma} \end{bmatrix} = \begin{bmatrix} \bar{Y} \\ \frac{n}{2} \sum_{t=1}^n Y_t \cos\left(\frac{2\pi}{p}\right)t \\ \frac{n}{2} \sum_{t=1}^n Y_t \sin\left(\frac{2\pi}{p}\right)t \end{bmatrix},$$

وكذلك

$$\therefore \hat{\sigma}^2 = \left(\frac{1}{n-3} \right) (\mathbf{Y}' \mathbf{Y} - \hat{\beta}' \mathbf{X}' \mathbf{Y})$$

$$\therefore \hat{\sigma}^2 = \frac{1}{n-3} \left[\sum_{i=1}^n (Y_i - \bar{Y})^2 - \frac{n}{2} (\hat{\alpha}^2 + \hat{\gamma}^2) \right]$$

الصيغ $\hat{\alpha}$ ، $\hat{\gamma}$ يمكن تبسيطها.

وعليه فإن:

$$\hat{\alpha} = \left(\frac{2}{n} \right) \sum_{t=1}^n Y_t \cos \left(\frac{2\pi}{p} t \right) = \left(\frac{2\pi}{Cp} \right) \sum_{t=1}^{Cp} Y_t \cos \left(\frac{2\pi}{p} t \right)$$

$$\hat{\alpha} = \frac{2}{Cp} \left[\sum_{t=1}^p Y_t \cos \left(\frac{2\pi}{p} t \right) + \sum_{t=p+1}^{2p} Y_t \cos \left(\frac{2\pi}{p} t \right) + \dots + \sum_{t=(c-1)p+1}^{Cp} Y_t \cos \left(\frac{2\pi}{p} t \right) \right] \quad (2.3)$$

عندما $t = 1, 2, \dots, p$

وكذلك

$$\cos \left(\frac{2\pi}{p} t \right) = \cos \left(\frac{2\pi}{p} (p+t) \right) = \dots = \cos \left(\frac{2\pi}{p} (c-1)(p+1) \right)$$

وبذلك تصبح المعادلة (2.3) كالتالي :

$$\hat{\alpha} = \left(\frac{2}{Cp} \right) \sum_{J=1}^p \left(\sum_{i=0}^{c-1} Y_i + ip \right) \cos \left(\frac{2\pi}{p} J \right) = \left(\frac{2}{Cp} \right) \sum_{J=1}^p T_j \cos \left(\frac{2\pi}{p} J \right) \quad (2.4)$$

$$T_j = \sum_{i=0}^{c-1} Y_{j+i p} \quad \text{حيث}$$

$$\hat{\alpha} = \left(\frac{2}{Cp} \right) \sum_{J=1}^p T_j \cos \left(\frac{2\pi}{p} j \right) \quad \text{فإن}$$

وبنفس الطريقة نحصل على $\hat{\gamma}$ حيث إن :

$$\hat{\gamma} = \left(\frac{2}{Cp} \right) \sum_j T_j \sin \left(\frac{2\pi}{p} j \right) \quad (2.5)$$

j

وبالتالى تكون $\hat{\sigma}^2$ كالتالى:

$$\hat{\sigma}^2 = \left(\frac{1}{n-3} \right) \left[\sum_i \left(Y - \bar{Y} \right)^2 - \left(\frac{n}{2} \right) \hat{\alpha}^2 - \left(\frac{n}{2} \right) \hat{\gamma}^2 \right] \quad (2.6)$$

3- توفيق النموذج المثلثي البسيط لدرجات الحرارة القصوى :

من خلال البيانات والتي تم الحصول عليها من مصلحة الأرصاد الجوية بالمركز الوطنى الليبي للأرصاد إدارة المناخ والتغيرات المناخية لمحطة مطار طرابلس العالمى طرابلس Libya لدرجات الحرارة (القصوى، الصغرى) للفترة الزمنية (1995 - 2009 م) وباستخدام الانحدار المتعدد (النموذج المثلثي البسيط) ومن المعادلة (2.1) فإن معادلة الانحدار المتعدد والمقدرة للمتغير التابع y والمتغيرين التفسيريين x_1, x_2 لدرجات الحرارة العظمى بالصيغة الرياضية التالى :

$$\hat{Y} = \hat{\beta} + \hat{\alpha} \cos\left(\frac{2\pi}{p}\right)x + \hat{\gamma} \sin\left(\frac{2\pi}{p}\right)x \quad (3.1)$$

$$\hat{Y} = \hat{\beta} + \hat{\alpha} x_1 + \hat{\gamma} x_2 \quad (3.2)$$

حيث إن

$$x_2 = \sin\left(\frac{2\pi}{p}\right)x, \quad p = 12 \quad x_1 = \cos\left(\frac{2\pi}{p}\right)x \quad x \text{ تمثل الزمن}$$

وبعد تحليل البيانات تم الحصول على معادلة الانحدار التالية :

$$\hat{Y} = 36.4 - 9.6926x_1 - 2.9252x_2 \quad (3.3)$$

ولاختبار الأداء العام للنموذج المقدر على التبؤ بالمستقبل (أو بالواقع) عند الفترة الزمنية للتقدیر يتم ذلك باختبار الفرق بين القيم المقدرة والقيم الفعلية ومن خلال تحليل البيانات نجد القيم التقديرية للمعاملات بالجدول رقم (1.1):

جدول (1.1) : القيم التقديرية لمعاملات نموذج الانحدار لدرجات الحرارة العظمى

المتغيرات المستقلة	المعاملات	الانحراف المعياري للمعاملات	اختبار (t)	مستوى المعنوية المشاهد (p)
Constant	36.4250	0.2352	154.84	0.000
X ₁	-9.6926	0.3327	-29.14	0.000
X ₂	-2.9252	0.3327	-8.79	0.000

النتائج بالجدول رقم (1.1) توضح مدى العلاقة الخطية بين أي من المتغيرات التفسيرية X₁ ، X₂ والمتغير التابع Y مع مقارتها بقيمة مستوى المعنوية المشاهد (p - value) وهي أقل من مستوى المعنوية 5% .

جدول (1.2) : تحليل التباين لمعادلة الانحدار المتعدد لدرجات الحرارة العظمى

S.V	DF	SS	MS	F	value- p
Regression	2	9225.3	4612.7	463.09	0.000
Residual	177	1763.0	10.0		
Total	179	10988.4			

ومن خلال نتائج تحليل التباين بالجدول رقم (1.2) نلاحظ بأن قيمة مستوى المعنوية المشاهد (p - value) مساوياً للصفر وهو يعتبر أقل من مستوى المعنوية 5% وهذا مؤشر آخر للعلاقة الخطية بين المتغيرات التفسيرية X₁ ، X₂ والمتغير التابع Y .

4- توفيق النموذج المثلثي البسيط لدرجات الحرارة الصغرى:

يمكننا توفيق المعادلة (2.1) لدرجات الحرارة الصغرى لمعادلة الانحدار المتعدد والمقدرة للمتغير التابع Z على المتغير التفسيرية X₁ ، X₂ على النحو التالي :

$$\hat{Z} = \hat{\beta} + \hat{\alpha} \cos\left(\frac{2\pi}{p}\right)x + \hat{\gamma} \sin\left(\frac{2\pi}{p}\right)x \quad (4.1)$$

$$\hat{Z} = \hat{\beta} + \hat{\alpha} x_1 + \hat{\gamma} x_2 \quad (4.2)$$

$$x_2 = \sin\left(\frac{2\pi}{p}\right)x , \quad x_1 = \cos\left(\frac{2\pi}{p}\right)x \quad p = 12$$

حيث إن X تمثل الزمن

$$\hat{Z} = 9.66 - 6.51x_1 - 4.53x_2 \quad (4.3)$$

وبعد تحليل البيانات تحصلنا على معادلة الانحدار التالية :

ومن خلال تحليل البيانات نجد القيم التقديرية لنموذج الانحدار لدرجات الحراري الصغرى بالجدول رقم (2.1) :

جدول (2.1) : القيم التقديرية لمعاملات نموذج الانحدار لدرجات الحرارة الصغرى

المتغيرات المستقلة	المعاملات	الانحراف المعياري للمعاملات	t اختبار	مستوى المعنوية المشاهد p - value
Constant	9.6628	0.1511	63.97	0.000
x_1	-6.5103	0.2136	-30.48	0.000
x_2	-4.5344	0.2136	-21.23	0.000

وكذلك جدول رقم (2.1) لتحليل التباين لمعادلة الانحدار المتعدد لدرجات الحرارة الصغرى التالي :

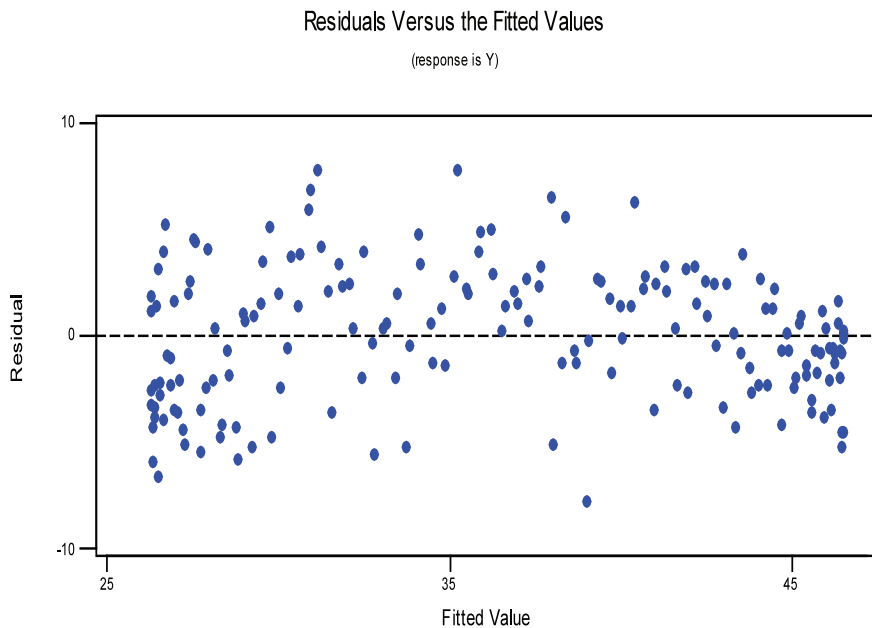
جدول (2.1) : تحليل التباين لمعادلة الانحدار المتعدد لدرجات الحرارة الصغرى

S.V	DF	SS	MS	F	p - value
Regression	2	5665.0	2832.5	689.64	0.000
Residual	177	727.0	4.1		
Total	179	6391.9			

الجدول رقم (2.1) يوضح نتائج تحليل التباين لمعادلة الانحدار المتعدد لدرجات الحرارة الصغرى حيث إن قيمة مستوى المعنوية المشاهد (p - value) والتي تستخدم في المعنوية الكلية للنموذج مساوياً للصفر وهو يعتبر أقل من مستوى المعنوية 5% وهذا مؤشر آخر لوجود العلاقة الخطية بين المتغيرات التفسيرية x_1 ، x_2 والمتغير التابع Z .

5- ثبات التباين :

الشكل رقم (5.1) يوضح ان النموذج المستخدم ملائم للبيانات قيد الدراسة من الناحية ومؤشر على ثبات التباين من ناحية أخرى.



شكل (5.1): مدى تجانس التباين

الخلاصة :

من خلال دراسة البيانات الخاصة بدرجات الحرارة القصوى لمطار طرابلس والمتمثلة في أعلى وأقل درجة حرارة خلال الفترة (1995 - 2009 م) وتحليلها بالطرق الإحصائية المناسبة وباستخدام البرامج الاحصائية حيث تم التوصل إلى نماذجين :

1- تقدير نموذج معادلة انحدار مثلثي بسيط لدرجات الحرارة العظمى وهي كالتالي:

$$\hat{Y} = 36.4 - 9.6926x_1 - 2.9252x_2$$

2- تقدير نموذج معادلة انحدار مثلثي بسيط لدرجات الحرارة الصغرى وهي كالتالي:

$$\hat{Z} = 9.66 - 6.51x_1 - 4.53x_2$$

حيث إن x تمثل الزمن $p = 12$

وبعد تحليل البيانات ومن خلال المعادلتين تحصلنا على النتائج التالية:

أولا : معادلة انحدار مثلثي بسيط لدرجات الحرارة العظمى فإن قيمة معامل التحديد المعدل لمعادلة

الانحدار المتعدد لتقديرية تساوي 83.8 % وبينما قيمة معامل التحديد لمعادلة الانحدار المتعدد لتقديرية تساوي 84.0 % وتعتبر كلا القيمتين مؤشر قوي لقوة العلاقة بين المتغيرات التفسيرية .
ثانيا : معادلة انحدار مثلثي بسيط لدرجات الحرارة الصغرى قيمة معامل التحديد المعدل لمعادلة الانحدار المتعدد التقديرية تساوي 88.5% بينما قيمة معامل التحديد لمعادلة الانحدار المتعدد لتقديرية تساوي 88.6 % وهذا دليل آخر لقوة العلاقة بين المتغيرات التفسيرية
ثالثا : من خلال القيم الفعلية والقيم المقدرة للمتغير التابع للنموذجين فكلاهما يعتبر مؤشر جيد للقدرة على التنبؤ.

المراجع:

أولا:- المراجع العربية:

1. العجيلى، على، (2008 م) دراسة تحليلية لدرجات الحرارة القصوى، رسالة ماجستير
2. شبكة المعلومات الدولية « إنترنت » مكتب الإحصاء قاعدة البيانات الدولية
3. العماري، على عبد السلام، العجيلى، على حسين (2000)، الإحصاء والاحتمالات النظرية
جامعة طرابلس، ليبيا .

ثانيا:- المراجع الأجنبية:

- 1.Dobson, A.J.; Barnett, A.G. .2008. Introduction to Generalized Linear Models (3rd ed.). Boca Raton, FL:Chapman and Hall/CRC.
- 2.Graybill, f.,1976.Theory and application of the Linear model. Duxbury Press,1976.
- 3.Lando,B.and Lando,C.A.,1977. Is the curve of temperature variation a sine curve. The mathematics teacher , 7 , 6 , 534 – 537.
4. Draper, N.R and Smith, H. (1998). Applied Regression Analysis. Third Edition, John Wiley.
- 5.Madsen, Henrik, and Thyregod, Poul .2011, Introduction to General and Generalized Linear Models. Chapman & Hall/CRC.
- 6.Ross,G.J.S. ,1990, Nonlinear Estimation, New York: Springer – Verlag.
- 7.Wood, Simon. .2006, Generalized Additive Models: An Introduction with R. Chapman & Hall/CRC.